

推定理論による非線形連立方程式の解法

九大理 伊藤久美子

非線形連立方程式の解法には、古くはニュートン法があり、近年それを改良したダビトン法等がある。このダビトン法(4)は、共役こう配方向上の極値探索すなはりある指定された修正ベクトル上の最小値を求めるために探索点が広範囲に分布せずに確実に解の方向に向か、また重変数の二次形式であれば、初期値にかかわらず繰り返し試行回数が九回で収束するという性質があるために、一般の非線形関数に対する数值例が示すように、初期値に關係なく少ない試行回数で収束し、その確実性の度がすぐれていいと思われる。また篠原(2)は、非線形連立方程式を微分方程式と評価の問題にはおらず、その微分方程式の解曲線にそつて評価を調べ、解曲線全体とその曲線上の評価を知った上で有界領域内のすべての解を求める大域的な数值解法を試みていく。この方法は、その数值例が示すように解曲線がJ字型の曲折曲線のようかなり複雑な曲線であっても初期値によらずすべての解が求められる度がすぐれていいと思われる。このように上の二つの論文には、初期値に依存することなく解が着実に求まるこという利点はあるが、共役方向上の極値探索や解曲線上の

評価に対する探索のために可成りの計算量を必要とし計算時間の莫大に問題があると思われる。

本論文は、少なへ繰り返し試行で短時間に解に収束させることを目的として、非線形系推定問題(1)に用いられる非線形フィルタの理論を導入して、上記のヨウとは別の大域的数値解法を試みた。すなはちニュートン法のように、探索莫大における接線をとることにより関数とその線形近似式の差が探索莫大においてのみ零であるようにするのではなく、先駆情報を利用して、探索莫大から真値に向かう範囲で、その近似誤差に比較的大きな確率的重みを与えた。そしてその非線形関数との2乗誤差の確率平均を最小とするように大域的に線形近似し、これをニュートン法のように逐次的に反復して解を求める方法を適用した。

この推定理論による方法（本論文の数値解法をそのように呼ぶ）で解いた二つの計算例では収束の莫大となりすぐれた結果がえられた。

1. 推定値 \hat{x} とその分散 \hat{C} の導出

ベクトル値関数 $f(x) \in C$, $f' = (f_1, f_2)$, $x' = (x_1, x_2)$ が与えられたとき連立方程式

$$(1) \quad f(x) = 0$$

を満足する x を求める問題について考察する。まずこの

未知の解 \hat{x} の予測値の確率分布が与えられたとする（この確率分布についてはより後に述べる）。その与えられた分布を正規分布

$$(2) \quad N(\bar{x}_*, C)$$

であるとする（図1参照）。ただし \bar{x}_* は平均値、Cは (2×2) の分散共分散行列である。またここで \bar{x}_* を最適予測値、Cを最適予測値の分散と呼ぶことにする。

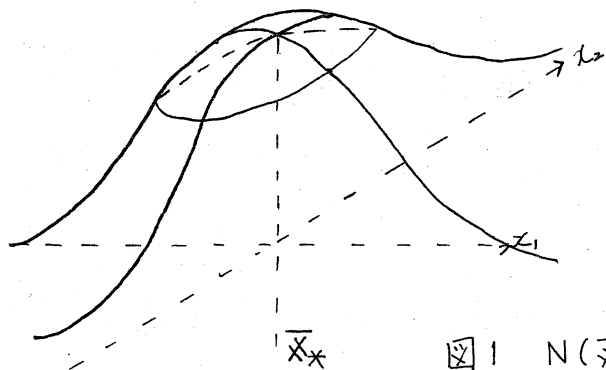


図1 $N(\bar{x}_*, C)$

今、ある実現値 x に対する $f(x)$ の値を y_1 とおき、 y_1 を観測値と呼ぶことにする。そしてこの観測値から上述の解 \hat{x} の予測値の確率分布を逐次修正し、解 \hat{x} に収束させる方法について述べよう。すなわち状態空間 R^2 の（図2参照）離散的ストカスティックプロセスを考え、時刻1の確率分布 $N(\bar{x}_*, C)$ が与えられていろとして、つぎに観測値 y_1 が0となる（状態が \hat{x}_* となる）条件の基づく時刻2の条件付確率分布を推定していきたい。その条件付確率分布の期待値

を最適推定値、分散共分散行列を最適推定値の分散と呼ぶことにする。

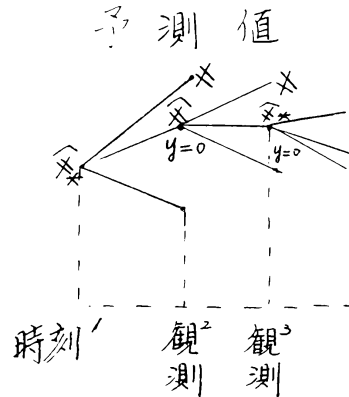


図 2 离散的ストカスティックプロセス

今、 $\hat{f}(x)$ を最適予測値 \bar{x}_* の近傍で二次の項まで泰勒展開したとすれば

$$(3) \quad \hat{f}(x) \cong \hat{f}(\bar{x}_*) + \hat{f}'_x(\bar{x}_*)(x - \bar{x}_*) + \frac{1}{2} \sum_{i=1}^2 \hat{f}''_{ii}(\bar{x}_*)(x - \bar{x}_*)^2 + \nabla$$

とかくことばざまろ、たたし

$$(4) \quad (\hat{f}'_x(\bar{x}_*))^{ij} = \frac{\partial \hat{f}^i}{\partial x^j} \Big|_{x=\bar{x}_*}$$

$$(\hat{f}''_{xx}(\bar{x}_*))^{jk} = \frac{\partial^2 \hat{f}^i}{\partial x^j \partial x^k}$$

$$\hat{f}_{ij} = \begin{pmatrix} 1 \\ 0 \end{pmatrix}, \quad \hat{f}_{jk} = \begin{pmatrix} 0 \\ 1 \end{pmatrix} \quad \begin{matrix} i = 1, 2 \\ j = 1, 2 \\ k = 1, 2 \end{matrix}$$

である。(3) 式の右辺の下は三次以上の項をまとめてのもので、二次の項までごとくを近似するこによる誤差に相当する。この ∇ については、理論的には知ることがざまろが

$f(x)$ を二次の項までのテーラー展開で近似して解を求める立場より考えれば、この ν は未知であり、ある実現値 x に対する種々の値による可能性をもつてゐる。このような観点から、 ν を確率変数とみなし、平均値 0 の正規分布 $N(0, \sigma^2)$ に従うと仮定する。

つぎに予測値の分布 $N(\bar{x}_*, C)$ が与えられたとき解 x の最適推定値 \hat{x}_* を観測値 y によって求めることについて述べる。
いま、 $f(x)$ の逆関数が存在するとすれば、

$$(5) \quad x = f^{-1}(y)$$

とかけるから、目的は $f^{-1}(0)$ を求めることである。そこで $f^{-1}(y)$ をつぎのような式

$$(6) \quad \hat{x}(y) = \bar{x}_* + K[y - f(\bar{x}_*)] + D$$

で近似し、 $\hat{x}(y)$ とかくことにする。ただし K は (2×2) の y の一次係数、 D は (3) 式の二次項の補正項と考える。
いま (6) 式に (3) 式を代入すれば

$$(7) \quad \hat{x} = \bar{x}_* + K[f_x(\bar{x}_*)(x - \bar{x}_*) + \frac{1}{2} \sum_{i=1}^3 f_{xx}^{(i)}(\bar{x}_* - \bar{x}_*) f_{xx}^{(i)}(x - \bar{x}_*) + \nu] + D$$

となる。この式において、与えられた解 x の予測値 \hat{x} の確率分布を用いて、 \hat{x} の x からのずれについて

$$(8) \quad E(\hat{x} - x) = 0$$

$$(9) \quad E((\hat{x} - x)^2) = \min.$$

をみたすように K 、 D を定める。すなむち、(7) 式より \hat{x}

は \hat{x} の関数であり。さらに (5) 式の近似であるから、任意の予測値 \bar{x} に対する重み（確率分布）付 \hat{x} と \bar{x} が近いことが望ましい。これは確率的に (8), (9) 式で表わされる。文献 (1) の結果を書けば結局 (8) 式より

$$(10) \quad D_{\bar{x}} = -K_{\bar{x}} \left(\frac{1}{2} \sum_{i=1}^2 \hat{x}_i^2 + \text{tr}[f_{\bar{x}}^T(\bar{x}) C] \right)$$

となり、(9) 式により、

$$(11) \quad \frac{\partial E[\hat{x} - \bar{x}]}{\partial K} \Big|_{K=k_{\bar{x}}} = 0$$

となる K^* を決定すれば

$$(12) \quad K^* = C_{\bar{x}}^T(\bar{x}) [C_{\bar{x}}(\bar{x}) C f_{\bar{x}}(\bar{x}) + V + L]^{-1}$$

となる。ただし L は

$$(13) \quad (L)^{ij} = \frac{1}{2} + \text{tr}[f_{\bar{x}}^T(\bar{x}) C f_{\bar{x}}^j(\bar{x}) C]$$

なる行列である。従ってこの K^* , $D_{\bar{x}}$ により逆開数 $\hat{x}(y_t)$ の近似式 (6) は定まり、

$$(14) \quad \hat{x}(y_t) = \bar{x} + K_{\bar{x}}[y_t - f(\bar{x})] + D_{\bar{x}}$$

とかけるので (14) 式の導入、解の観測値 y_t を代入すれば、この観測値に対する最適推定値 $\hat{x}_{\bar{x}}$ が求まり、

$$(15) \quad \hat{x}_{\bar{x}} = \bar{x} - K_{\bar{x}} f(\bar{x}) + D_{\bar{x}}$$

と書きこべができる。この最適推定値 $\hat{x}_{\bar{x}}$ を最適予測値とし、次に今と同様過程を繰り返すことにより、解に次

束するこゝとが期待される。その場合問題となるのは分散共分散行列(以後単に分散と呼ぶ) C , \hat{C} の決定である。文献(1)では、最適予測値の分散 C が与えられたとき、観測値 y とは無関係に最適推定値の分散 \hat{C} を推定する方法が述べられている。分散 \hat{C} は、線形近似式 $\hat{x}(y)$ と逆関数 $f^{-1}(y)$ の差の行列積

$$(16) \quad (f^{-1}(y) - \hat{x}(y))(f^{-1}(y) - \hat{x}(y))'$$

の観測値 y に対する平均

$$(17) \quad \hat{C} = E((f^{-1}(y) - \hat{x}(y))(f^{-1}(y) - \hat{x}(y))')$$

で与えられている。(17)式の $f^{-1}(y)$ の y には $x(\ast)$ を、
 $\hat{x}(y)$ の y には(3)式の泰勒展開を代入すれば

$$(18) \quad \hat{C} = E((\ast - \hat{x})(\ast - \hat{x})')$$

となる。ただし(18)式の平均は x の予測値の確率分布に対するものである。すなわちこの分散 \hat{C} は \hat{x} には無関係に最適予測値 \hat{x}_* とその分散 C に対して

$$(19) \quad \hat{C} = C - C f_{\hat{x}}(\bar{x}_*) [f_{\hat{x}}(\bar{x}_*) C f_{\hat{x}}(\bar{x}_*)' + V + L] f_{\hat{x}}(\bar{x}_*) C$$

と表わされる。また2回目以後の分散も $C = \hat{C}$, $\bar{x}_* = \hat{x}_*$ とおいて逐次的に求められる。レカレニの文献(1)の分散 \hat{C} は、(18)式よりわかるように最適予測値 \hat{x}_* に最大の重みをおいて定められた分散であって、最適推定値 \hat{x}_* を中心に解の予測値のばらつきを考えた分散ではないので、二

のような大域的な逆関数の線形近似式((14)式)を、すなわちその定数 K_* , D_* を定めるにはこの分散 C は不適当であるように思われる。後の計算結果とも文献(1)の方法の収束性が悪いことが示されていて、また文献(1)の場合には初めの最適予測値の分散 C の設定法に対する具体的な示されていはない。そこで分散の推定に対する一つの方法を試みた。 (14)式により ($y=0$ において) 解を推定する場合に、最適推定値 \bar{x}_* の分散 C として小さな値を設定した場合には、前に述べた通り、 $\hat{f}(y)$ は、 $x = \bar{x}_*$ の近傍ではなく $y_*(=f(\bar{x}_*))$ の近傍に大きな重みをついた逆関数 $f^{-1}(y)$ の近似になり、逆に C として大きな値を設定した場合には y のより広い範囲に重みを分散させた場合の逆関数 $f^{-1}(y)$ の近似になる。したがって、(14)式により、 $f(x)=0$ となる真の解 x_* を求める立場からすれば、 $f^{-1}(y)$ の近似に対する分散 C を設定する場合に、 x_* は未知ではあるが、最適予測値 \bar{x}_* から真の解 $x_*=x_*$ まで比較的に大きな重みが考慮されることなどが望ましいと思われる。やえに仮りに真の解 x_* がわかつたとすれば、最適予測値 \bar{x}_* の分散 C としては

$$(20) \quad C = (x_0 - \bar{x}_*)(x_0 - \bar{x}_*)'$$

とおくのが適當であると思われる。しかし \hat{x} はもちろん未知であるので、まず最適予測値の分散 C は、最適予測値 \bar{x}_* に基づいた簡単な実験により解 \hat{x}_* を予測してその予測値を(20)式の x の代りに用いて定める。つぎに \hat{x} に対する分散 C も同様に \bar{x}_* に基づく実験により解 \hat{x} を予測してその値を(20)式の x の代りにして計算する。この場合、この C は、文献(1)の場合とは異なり、 \bar{x}_* と x だけから定まり前の最適予測値の分散 C には無関係である。

後述する数値例において、このように定めた分散を用いた場合には、解の収束性がすぐれていることが示されている。

((註)1) ニュートン法においては、関数 $f(x)$ の一次の項までの泰勒展開を用いるが、ここでは(3)式の二次項の補正項を用いているのでニュートン法の改良の意味も含んでいると思われる。また分散 $C \rightarrow 0$, $V=0$ のときには、 $D \rightarrow 0$, $L \rightarrow 0$ となるので、(12)式より

$$K \rightarrow f\bar{f}_*^{-1}(\bar{x}_*)$$

となり、(15)式は

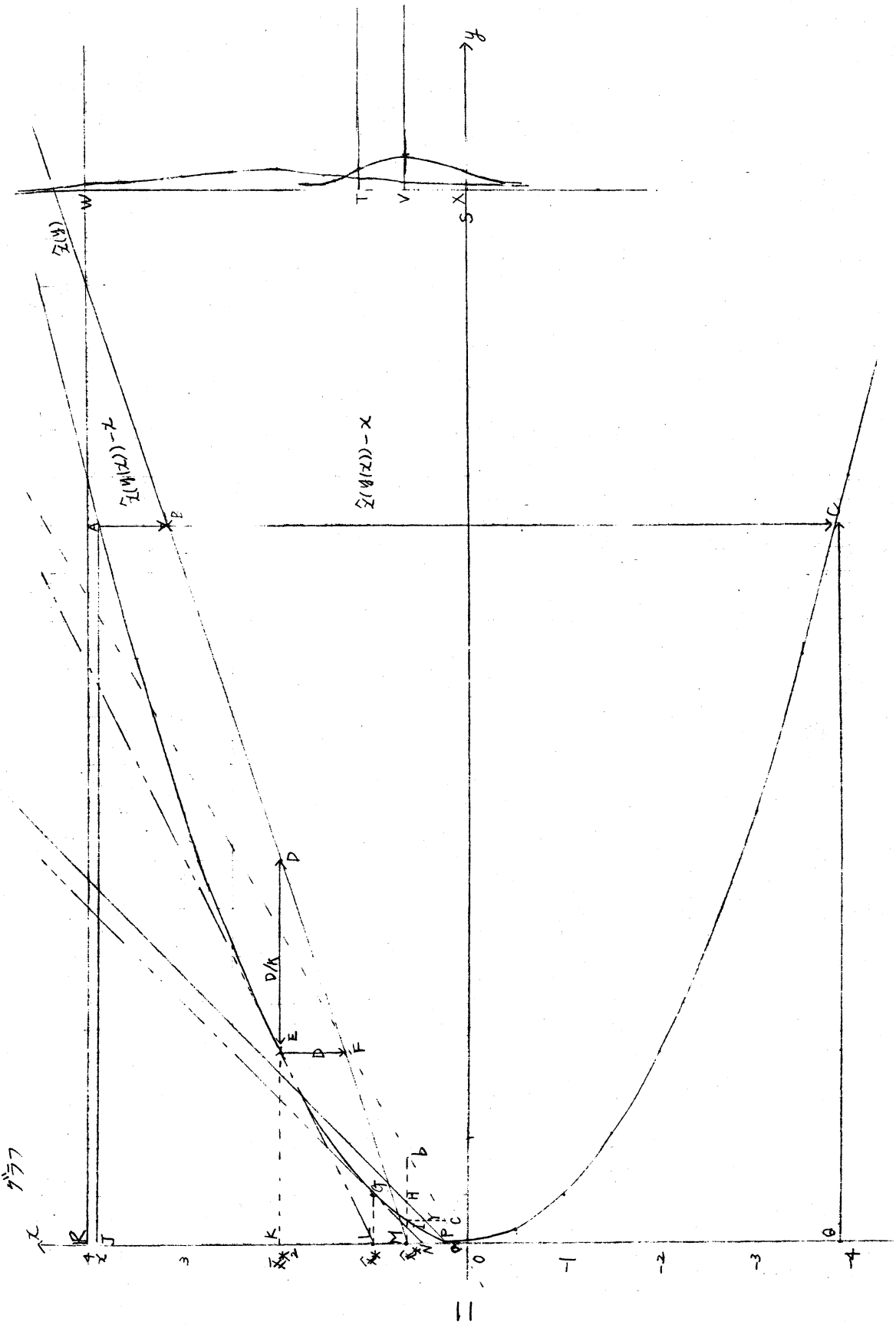
$$(21) \quad \hat{x} \rightarrow \bar{x}_* - f\bar{f}_*^{-1}(\bar{x}_*) f(\bar{x}_*)$$

となる。(21)式より、ニュートン法に近づくことがわかる。

((註)2) (3)式の二次の項を考慮しない一次元フィルタの場合には、 $V=0$ ならば $L=D=0$ となり、ニュートン法と

一致する。上述のことと関数 $y = x^2$ の $y = 0$ となる解を求める問題を例にとって計算するとつきの表、グラフのようになる。

推定理論による方法	回	最適予測値		分布	線形近似		分散の求め方
		グラフの記号	グラフの記号		グラフの記号	グラフの記号	
文獻(1)の方法	1	2	K	N(24)	SW	$\hat{x} = 2 + \frac{1}{6}(y-8)$	M F D B
	2	$\frac{2}{3}$	M	$N(\frac{2}{3}, \frac{4}{9})$	X V T	$\hat{x} = \frac{2}{3} + 0.5(y - \frac{8}{3})$	P Y H
	3	$\frac{2}{9}$	P				
三分割法	1	2	K	N(24)		$\hat{x} = 2 + \frac{1}{6}(y-8)$	M F D B
	2	$\frac{2}{3}$	M	$N(\frac{2}{3}, \frac{4}{9})$		$\hat{x} = \frac{2}{3} + 0.3(y - \frac{16}{9})$	A C b
	3	0.13	O				
三分割法	1	2	K			$x = \frac{1}{4}(y-4) + 2$	L E
	2	1	L			$x = (4-1) + 1$	G N
	3	0.5	N				



註3) 逆関数 $x = \sqrt{y}(C \cdot A)$ の予測値 $x=2$ における線形近似式 $\hat{x}(y) = 2 + k(y - 4 + \frac{D}{K})$ (MFD) の定数 k , D/K を求めよう。まず D/K は、(8) 式すなはち $\hat{x} - x(CB, AB)$ の x に対する確率平均が 0 となることより、 $D/K = -4(ED)$ と求められ、またその逆もいえるので、(8) 式をみたす線形近似式 $\hat{x}(y)$ はグラフの裏 D を通り、逆に裏 D を通るすべての直線は (8) 式をみたす。つぎにこの線形近似式 $\hat{x}(y)$ のこう配 k は、裏 D を通る直線の中でも (9) 式をみたす、すなはち $(\hat{x} - x)^2$ の確率平均が最小であるものとして定まり、 $K = 1/6$ となる。ただし \hat{x} は (7) 式で定義されたものである。このようにして定められた線形近似式 $\hat{x}(y) = 2 + \frac{1}{6}(y - 8)$ は、予測値 $x=2$ の分散 C が 4 であることより、 $x=2$ から真の解 $x=0$ までと $x=2$ から $x=4$ までの範囲で比較的に大きな重みを考慮した逆関数 $x = \sqrt{y}(C \cdot A)$ の線形近似式であるので、この範囲での近似の度合がよくなる。グラフでもそれが示されている。

註4) 分散を考慮して推定理論による方法(本論文の方法)や文献(1)の方法においては、最適予測値 $\hat{x}=2$ から $\hat{x}=0$ までの範囲を考慮して大域的な線形近似を行うのと、分散を考慮しない最適予測値 $\hat{x}=2$ 附近だけの局所的な線形近似(接線)を行なうニュートン法に比べると、表よりわかるように

2回目, 3回目の最適予測値は, は3回にニュートン法のそれより解に近いものになつてゐる。つゞく推定理論による方法と文献(1)の方法を比べると, 表の3回目の最適予測値は文献(1)の方がより解に近いので, 文献(1)の方法の方がすぐれきいろようにも思われるが, レカレ推定論による方法と文献(1)の方法の2回目の線形近似(PYH, acb)を比べると, 推定値 $\hat{x}_* = \frac{2}{3}$ から解 $x=0$ までの範囲では, 推定論による方法の方が線形近似の度合がよい。それでこの例だけからではどちらの方法がよいともいえない。

2. 計算方法

ここでは前節において述べた推定値 \hat{x}_* とその分散 \hat{C} を用いて実際に計算する場合の手順を述べる。(1)式における解は (x_1, x_2) 平面上における曲線

$$(21) \quad f_1(x) = 0$$

$$(22) \quad f_2(x) = 0$$

の交点 x であらわされる(図3参照)。

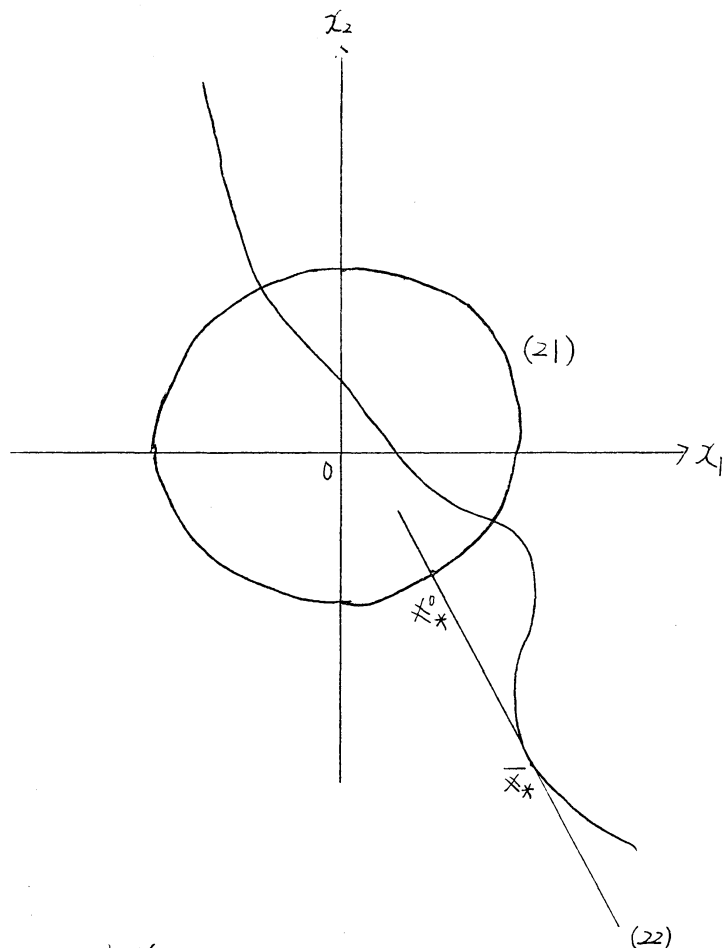


図3. 曲線(21), (22)

まず最適予測値 \bar{x}_* と \hat{x}_* は (27)式の曲線上の点をとる。つぎに (22)式の \bar{x}_* における接線方向を求める、その接線上の点で (21)式を 0 にする点 \bar{x}_*° をニュートン法で求めることとする。分散 C を

$$(23) \quad C = (\bar{x}_* - \bar{x}_*^\circ)(\bar{x}_* - \bar{x}_*^\circ)'$$

にとる。この分散および \bar{x}_* を用いて 1 節の (15)式より最適推定値 \hat{x}_* を求め、さらに α -成分が \hat{x}_* に固定し、 β -成分

についての方程式

$$(24) \quad f_1(\hat{x}_1^*, x_2) = 0$$

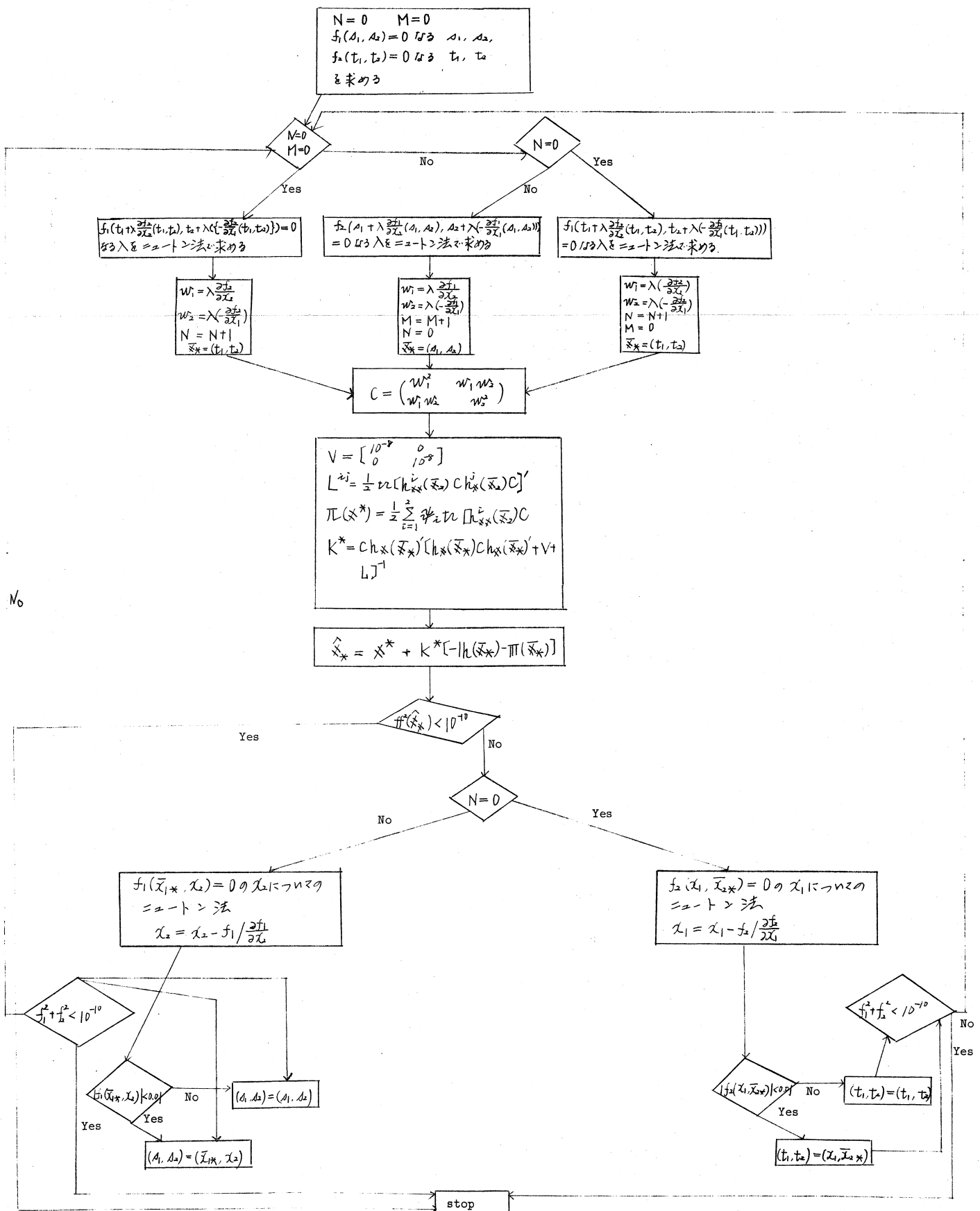
の解をニュートン法で求め、 \hat{x}_1^* を (21) 式の曲線上に載せる。
これで第一回の操作が終る。つぎに (21) 式上の \hat{x}_1^* を
 \hat{x}_1 とし、左関数と右関数を入れかえく、またたく同様の操作
を行う。これをくりかえして、(1) 式の解が求まることが
期待される。(Flow chart 1 参照)。

註5) つぎの計算例において、上の方法を「推定理論による
方法1」と呼ぶ。また \hat{x}_1^* を (21) 式の曲線上にのせるために
に別の方針を用いる、すなはり (24) 式においてその解を \hat{x}_1^*
における接線上で求める方法を「推定理論による方法2」と
呼ぶ。この2つの方法は実際計算の一端で異なるだけぐ
本質的な理論は全く同じである。

3. 計算例

つぎにニュートン法、推定理論による方法、文献(1)の方
法を比べて2つの計算例を上げよう。

Flow chart 1



例1.

$$y_1 = x_1^2 + x_2^2 - 1 = 0$$

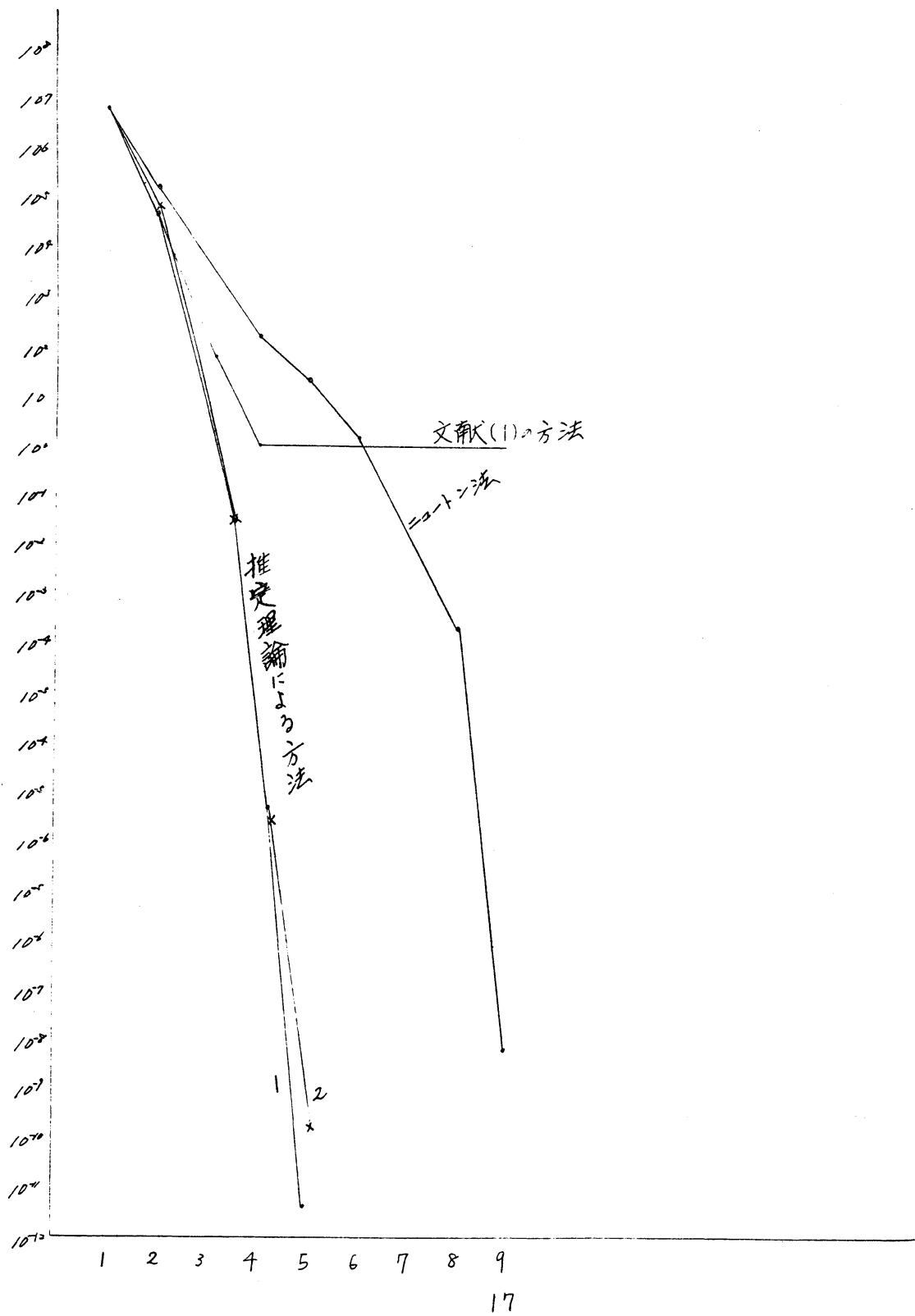
$$y_2 = 2x_1 x_2 + x_2^2 = 0$$

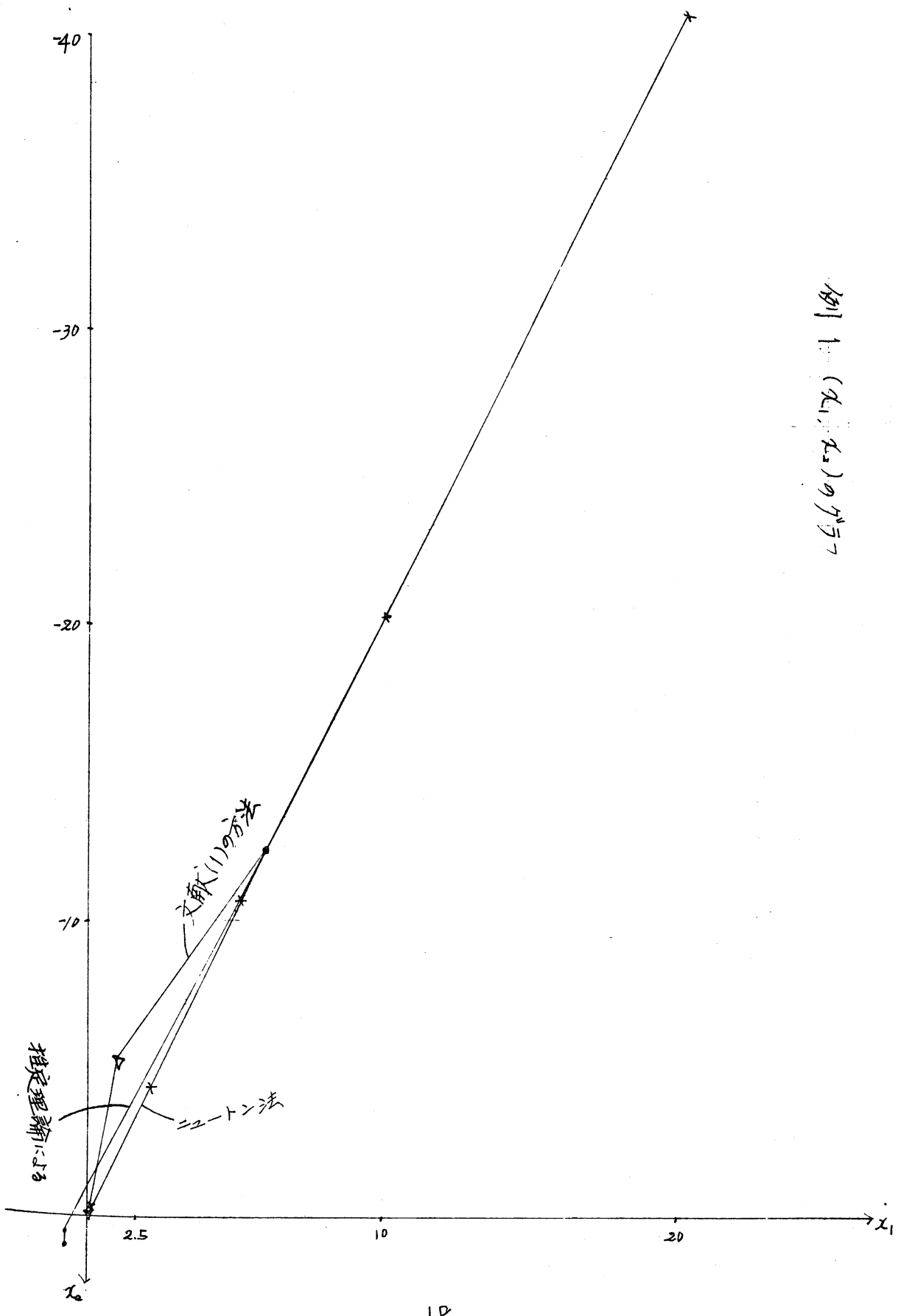
科 目	シーケンス法		推定理論による方法1		推定理論による方法2		文献(1)の方法	
	x_1	x_2	x_1	x_2	x_1	x_2	x_1	x_2
1	0.2000 10^2	-0.4000 10^2	0.2000 10^2	-0.4000 10^2	0.2000 10^2	-0.4000 10^2	0.2 10^2	-0.4 10^2
2	0.1001 10^2	-0.2001 10^2	0.6581 10^1	-0.1316 10^1	0.7484 10^1	-0.1497 10^1	0.6581 10^1	-0.1316 10^1
3	0.5012 10^1	-0.1002 10^2	-0.5000 10^1	0.1700 10^1	-0.5200 10^1	0.1827 10^1	0.1250 10^1	-0.5000 10^1
4	0.3526 10^1	-0.5052 10^1	-0.4468 10^1	0.8935 10^1	-0.4473 10^1	0.8952 10^1	0.2404 10^{-1}	-0.4827 10^{-1}
5	0.13027 10^1	-0.2627 10^1	-0.44272 10^1	0.8944 10^1	-0.4472 10^1	0.8742 10^1	0.3636 10^{-2}	-0.1127 10^{-2}
6	0.7281 10^1	-0.1456 10^1					0.1518 10^{-5}	-0.2615 10^{-5}
7	0.4525 10^1	-0.96028 10^1					0.3081 10^{-9}	-0.6161 10^{-9}
8	0.4472 10^1	-0.8944 10^1					0.7202 10^{-11}	-0.1440 10^{-11}
9	0.4472 10^1	-0.8944 10^1					0.1694 10^{-14}	-0.3363 10^{-14}

$$F = y_1^2 + y_2^2 \text{ の値}$$

1	0.39960010 10^7	0.39960010 10^7	0.39960010 10^7	0.39960010 10^7
2	0.2495 10^6	0.4647 10^5	0.7786 10^4	0.4027 10^5
3	0.1553 10^5	0.6250 10^4	0.6250 10^4	0.4644 10^2
4	0.95532 10^3	0.3548 10^5	0.2864 10^{-5}	0.9942
5	0.5624 10^2	0.1919 10^1	0.1298 10^{-1}	0.1 10^1
6	0.2724 10^1			0.1 10^1
7	0.6604 10^{-1}			0.1 10^1
8	0.1725 10^3			0.1 10^1
9	0.1812 10^8			0.1 10^1

例 1. ハラフ

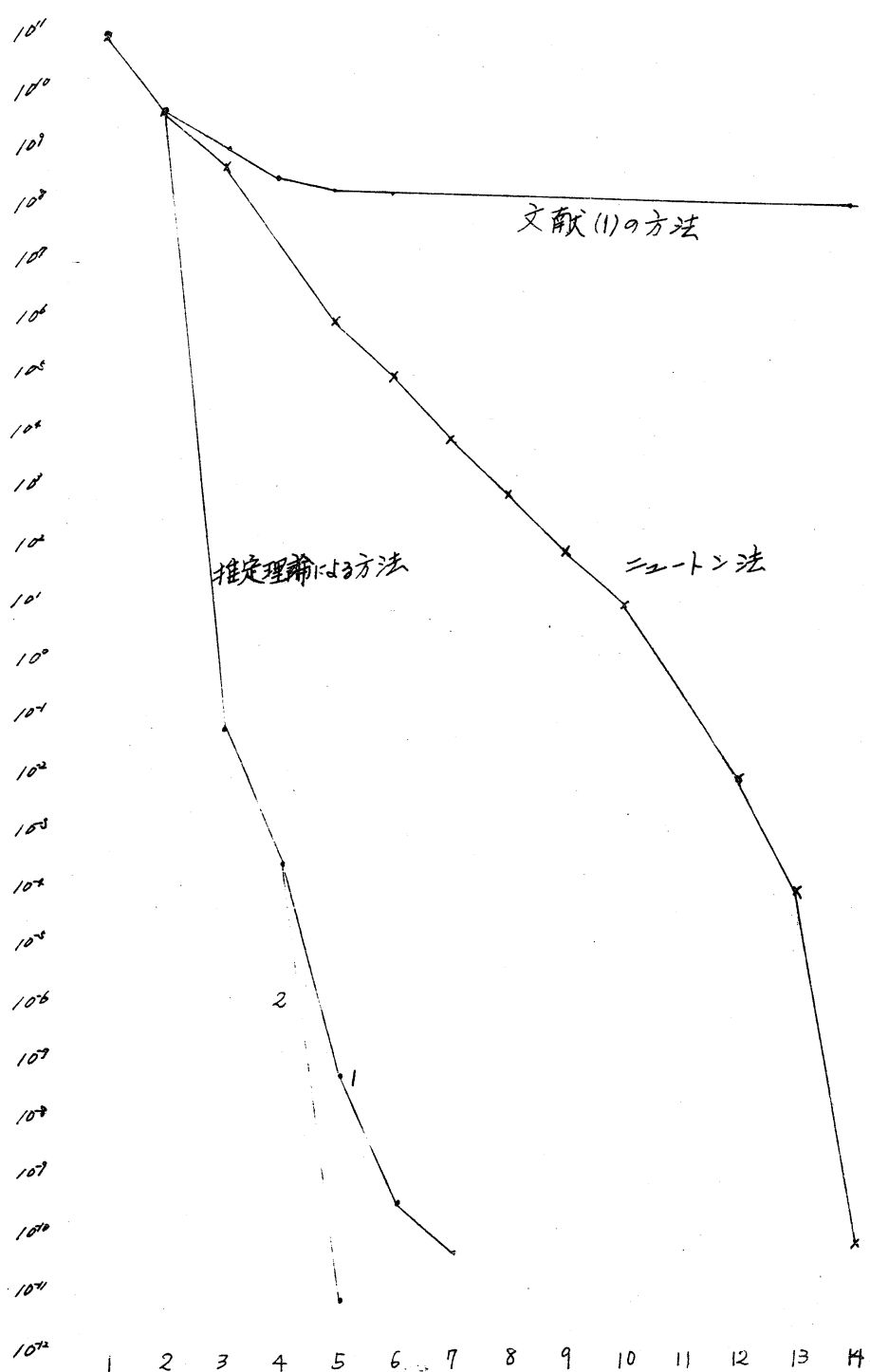




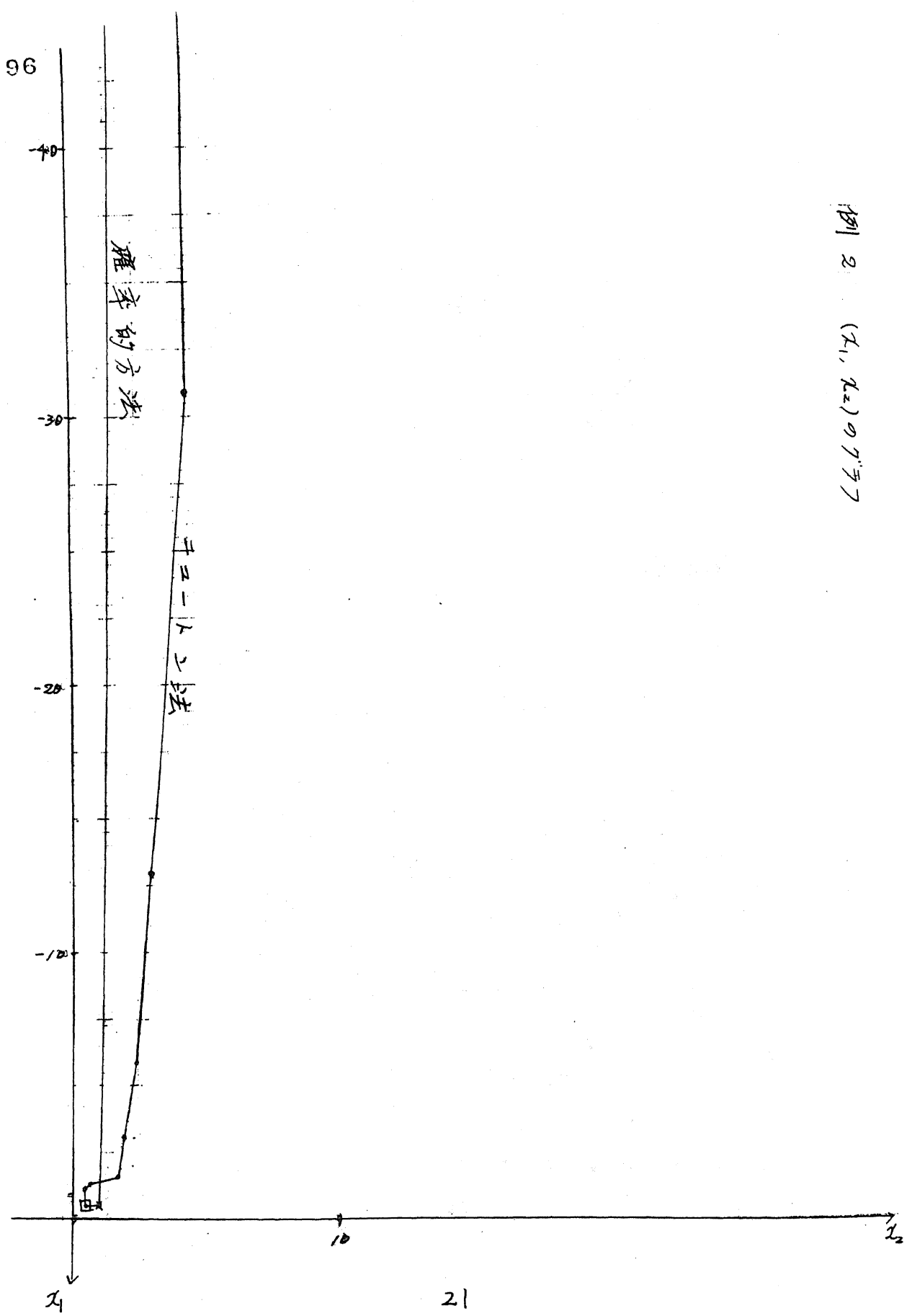
$$\begin{aligned} & y_1 = x_1^2 + x_2^2 - 10 = 0 \\ & y_2 = 2x_1 x_2 + x_2^4 = 0 \end{aligned}$$

回数	二二一トニ法		推定理論による方法1		推定理論による方法2		文献(1)の方法	
	x_1	x_2	x_1	x_2	x_1	x_2	x_1	x_2
1	-0.5×10^3	0.1×10^4	-0.5×10^3	0.1×10^4	-0.5×10^3	0.1×10^4	-0.5×10^3	0.1×10^4
2	-0.2499×10^3	0.8333×10^4	-0.2499×10^3	0.8333×10^4	-0.2499×10^3	0.8333×10^4	-0.2499×10^3	0.8333×10^4
3	-0.1249×10^3	0.6023×10^4	-0.5000×10^3	0.1000×10^4	-0.5000×10^3	0.1000×10^4	-0.1250×10^3	0.1467×10^4
4	-0.6233×10^3	0.5533×10^4	-0.3929×10^3	0.9286×10^4	-0.3929×10^3	0.9286×10^4	-0.1125×10^3	0.7372×10^4
5	-0.3102×10^3	0.4459×10^4	-0.3903×10^3	0.9207×10^4	-0.3903×10^3	0.9207×10^4	-0.1046×10^3	0.7309×10^4
6	-0.1553×10^3	0.3575×10^4	-0.39023657×10^3	0.92070470×10^4			-0.9897×10^3	0.7261×10^4
7	-0.7451×10^3	0.2251×10^4	-0.3902445×10^3	0.92071018×10^4			-0.9462×10^3	0.7222×10^4
8	-0.3474×10^3	0.2257×10^4					-0.9110×10^3	0.7109×10^4
9	-0.1470×10^3	0.1762×10^4					-1.0816×10^3	0.7160×10^4
10	-0.5142×10^3	0.1549×10^4					-0.8565×10^3	0.7134×10^4
11	-0.2484×10^3	0.1298×10^4					-0.8347×10^3	0.7111×10^4
12	-0.3694×10^3	0.9430×10^4					-0.8154×10^3	0.7089×10^4
13	-0.3895×10^3	0.9215×10^4					-0.7982×10^3	0.7067×10^4
14	$-0.3902445579 \times 10^3$	0.9207114742×10^4					-0.7672×10^3	0.7050×10^4
	$1.062549510 \times 10^{10}$	$0.62544510 \times 10^{10}$	$0.625449510 \times 10^{10}$	$0.625449510 \times 10^{10}$	$0.625449510 \times 10^{10}$	$0.625449510 \times 10^{10}$	0.6254495×10^{10}	0.6254495×10^{10}
	2.03911×10^{10}	0.3911×10^{10}	0.3911×10^{10}	0.3911×10^{10}	0.3911×10^{10}	0.3911×10^{10}	0.3911×10^{10}	0.3911×10^{10}
Fの値	3.02448×10^3	0.6250×10^4	0.6250×10^4	0.6250×10^4	0.6250×10^4	0.6250×10^4	0.2471×10^3	0.2471×10^3
	4.01538×10^3	0.4673×10^4	0.4673×10^4	0.4673×10^4	0.4673×10^4	0.4673×10^4	0.1629×10^3	0.1629×10^3
	$5.0.9769 \times 10^3$	0.1442×10^4	0.1442×10^4	0.1442×10^4	0.1442×10^4	0.1442×10^4	0.1229×10^3	0.1229×10^3
	$6.0.6385 \times 10^3$	0.3634×10^4	0.3634×10^4	0.3634×10^4	0.3634×10^4	0.3634×10^4	0.3878×10^3	0.3878×10^3
	$7.0.8448 \times 10^3$	0.1555×10^4	0.1555×10^4	0.1555×10^4	0.1555×10^4	0.1555×10^4	0.8291×10^3	0.8291×10^3
	$8.0.1664 \times 10^3$						0.7158×10^3	0.7158×10^3
	$9.0.3808 \times 10^3$						0.6306×10^3	0.6306×10^3
	$10.0.4071 \times 10^3$						0.5643×10^3	0.5643×10^3
	$11.0.4982 \times 10^3$						0.5110×10^3	0.5110×10^3
	$12.0.9499 \times 10^3$						0.4674×10^3	0.4674×10^3
	$13.0.1157 \times 10^3$						0.4109×10^3	0.4109×10^3
	$14.0.21337 \times 10^3$						0.3999×10^3	0.3999×10^3

例 2. ハグラフ



解法 2 $(x_1, x_2) \in \mathbb{R}^2$



参考文献

1. Suboptimal State Estimation for Continuous-Time Nonlinear Systems
from Discrete Noisy Measurements
M. Athans, R.P. Wishner, A. Bertolini; Preprint of J.A.C.C. 1968, 364-382.
2. 連立非線型方程式の大域における数值解法とその応用
篠原能村(応用数学研究会 SMC 12.12 東大、理で発表のもの)
3. Applied Analysis (1956) pp.10-11 Lanczos
4. 非線形最適化問題
J. Komalik, M.R. Osborne (山本, 小山訳), 培風館, 1970